(19) **日本国特許庁(JP)** 

# (12) 特 許 公 報(B2)

(11)特許番号

特許第4365440号 (P4365440)

(45) 発行日 平成21年11月18日(2009.11.18)

(24) 登録日 平成21年8月28日 (2009.8.28)

(51) Int.Cl. F 1

 GO 1 N
 33/569
 (2006.01)
 GO 1 N
 33/569
 J

 CO 7 K
 14/05
 (2006.01)
 CO 7 K
 14/05
 Z N A

 CO 7 K
 16/08
 (2006.01)
 CO 7 K
 16/08

請求項の数 5 (全 26 頁)

(21) 出願番号特願2008-89543 (P2008-89543)(22) 出願日平成20年3月31日 (2008.3.31)(62) 分割の表示特願平5-80099の分割

原出願日 平成5年3月15日 (1993.3.15) (65) 公開番号 特開2008-261851 (P2008-261851A) (43) 公開日 平成20年10月30日 (2008.10.30)

審査請求日 平成20年3月31日 (2008. 3. 31)

(31) 優先権主張番号 92200721.6

(32) 優先日 平成4年3月13日 (1992.3.13)

(33) 優先権主張国 オランダ (NL)

(73)特許権者 390009612

アクゾ ノーベル ナムローゼ フェンノ

ートシャップ

Akzo Nobel N. V.

オランダ国, 6824 ベーエム アンヘ

ム, フェルペルウェヒ 76

||(74)代理人 100062007

弁理士 川口 義雄

|(72) 発明者 ヤープ・ミシエル・ミデルドルプ

オランダ国、5343・ヘー・デー・オツ ス、スターリングストラート・151

審査官 高堀 栄二

最終頁に続く

## (54) 【発明の名称】エプスタイン-バールウイルスに関連するペプチド及び核酸配列

## (57)【特許請求の範囲】

## 【請求項1】

試料中のエプスタイン バーウイルスを検出する方法であって、前記試料を、配列番号 2 もしくは配列番号 4 のアミノ酸配列から成るか、または配列番号 2 もしくは配列番号 4 のアミノ酸配列の 1 個もしくは数個のアミノ酸が欠失され<u>もしくは</u>置換されているアミノ酸配列または配列番号 2 もしくは配列番号 4 のアミノ酸配列に 1 個もしくは数個のアミノ酸が付加されもしくは挿入されているアミノ酸配列から成り、配列番号 2 または配列番号 4 のアミノ酸配列から成るポリペプチドを認識する抗体に対して免疫化学的に反応するペプチドによる免疫によって作製されたポリクローナル抗体と接触させた後、前記試料中の前記エプスタイン バーウイルスの存在の基準である形成された免疫複合体を検出することを特徴とする、前記方法。

10

## 【請求項2】

前記ペプチドが、配列番号 2 もしくは配列番号 4 のアミノ酸配列の連続した<u>数個の</u>アミノ酸が欠失されたアミノ酸配列から成る、請求項 1 に記載の方法。

#### 【請求項3】

試料中のエプスタイン・バーウイルスを検出する方法であって、前記試料を、配列番号 5 もしくは配列番号 6 のアミノ酸配列から成るペプチドによる免疫によって作製されたポリクローナル抗体と接触させた後、前記試料中の前記エプスタイン・バーウイルスの存在の基準である形成された免疫複合体を検出することを特徴とする、前記方法。

#### 【請求項4】

試料中のエプスタイン・バーウイルスを検出する方法であって、前記試料を、配列番号 5 のアミノ酸配列が配列番号 6 のアミノ酸配列に連結されたアミノ酸配列から成るペプチドによる免疫によって作製されたポリクローナル抗体と接触させた後、前記試料中の前記エプスタイン・バーウイルスの存在の基準である形成された免疫複合体を検出することを特徴とする、前記方法。

### 【請求項5】

請求項1から4のいずれか1項に定義された抗体を含む、請求項1から4のいずれか1項に記載の方法を実施するためのテストキット。

# 【発明の詳細な説明】

#### 【技術分野】

[0001]

本発明は、抗エプスタイン・バールウイルス(EBV)抗体に対して免疫化学的に反応性のペプチド、これらのペプチドをコードする核酸配列、これらのペプチドに対するモノクローナル抗体、モノクローナル抗体を産生することが可能な細胞系及び抗イディオタイプ抗体に係る。本発明は更に、本発明の核酸配列を含む組換ベクター分子及びこれらのベクター分子で形質転換又はトランスフェクトされた宿主細胞に係る。本発明は更に、EBV又は抗EBV抗体を検出するための免疫学的試薬及び方法、並びにエプスタイン・バールウイルス核酸の増幅及び検出方法にも係る。

### 【背景技術】

# [0002]

EBVは、アフリカ(地方病性即ちe)形のバーキットリンパ腫(BL)に関して最初に発見された偏在性ヒトヘルペスウイルスである。その後、該ウイルスは上咽頭癌(NPC)に関連することも発見され、感染性単核症(IM)の原因物質であることが示された。感染は通常、幼時期に行われ、一般には無症状であるが、軽度の症状を伴う場合もある。しかしながら、青年期又は成人期に感染すると、末梢における異型リンパ球の存在により特徴付けられるIMを生じる恐れがある。これらのリンパ球の大半はTリンパ球であるが、EBVに感染した少数のBリンパ球も含まれる。Bリンパ球の感染は、in vit roでも行われ得る。このような細胞は形質転換されて培養により無限に増殖し、「不滅化」、「潜伏感染」又は「増殖形質転換」細胞などと呼称されている。従来知られている限りでは、EBVに感染した全個体は一生潜伏感染したままである。これは、循環末梢血液リンパ球中に少数のEBV・ゲノム陽性形質転換B細胞が一生持続的に存在することと、ウイルスが中咽頭に連続的且つ周期的に放出されることにより立証された。

#### [0003]

大部分の症例ではEBV感染の結果、一時的に衰弱性であり得るが、常に良性且つ自己限定性なリンパ増殖性疾患を生じる。しかしながら、免疫抑制された個体では結果が完全に悪性になる場合もある。故意に免疫抑制した個体、特にシクロスポリンAで治療した臓器移植幼児、このごろではHIV感染個体の場合、又は昔からみられるような遺伝的にXLP(×連関増殖症候群)遺伝子を有する疾患男子の場合のような個体がこれに該当する。これらの場合、悪性結果はEBV感染B細胞のポリクローナル増殖に起因する。更に、このような患者では口腔白斑症の病変部にウイルスの無制御な上皮複製を検出することができる。従って、免疫応答はEBV感染の制御に中枢的な役割を果たす。

### [0004]

上述のように、EBVはヘルペスウイルスの1員である。EBVは以下の構造特性を有する。

- EBVゲノムは直鎖状二重鎖DNA分子(173000塩基対)から構成される。
- ビリオンは20面体キャプシドに包囲されたコア(タンパク質及びDNA)とキャプシドを包囲する膜エンベロープとから構成される。20面体キャプシドは6量体又は5量体キャプソメアから構成される。膜エンベロープは外側表面にスパイクを有するタンパク質/脂質2重膜から構成される。キャプシドシェルとエンベロープとの間のスペースは、テグメントと呼称されるアモルファスタンパク質で充填されている。

10

20

30

40

20

30

40

50

- 全ヘルペスウイルスと同様に、EBVは一次感染後に宿主中で一生潜伏感染を生じ得る。この潜伏は、EBVとそのヒト宿主との間で宿主免疫系により制御される完全な平衡を意味する。

### [0005]

従来、ほとんどの生化学的及び生物学的研究は3種のEBV原型株、即ちB95-8(マーモセット細胞系で産生された形質転換ウイルス)、P3HR1(バーキットリンパ腫細胞系により産生された非形質転換ウイルス)及びRaji(バーキットリンパ腫細胞系における潜伏ウイルス)で実施されている。

#### [0006]

ここ数年間に原型ウイルス株 B 9 5 - 8 の完全 D N A 配列が決定された。この配列の解析の結果、 8 0 以上のオープンリーディングフレームが同定された( B a e r ら , 1 9 8 4 , N a t u r e 3 1 0 , p . 2 0 7 - 2 1 1 )。

### [0007]

EBVはその生物学的特性(潜伏感染)が従来のウイルス解析に適していないため、生物学的研究に特に問題がある。更に、細胞及び宿主範囲は一般にin vitroで培養することができないヒト(及び少数の高等霊長類)Bリンパ球及び上皮細胞に事実上制限される。更に、ウイルスが溶菌複製する完全に許容可能な細胞型が存在しないため、大量のウイルスの製造能力は非常に制限されている。

#### 7 0 0 0 8 1

B95-8, P3HR1及びRaji単離株のDNA分子は従来、詳細な制限エンドヌクレアーゼマッピング、大腸菌プラスミド及びバクテリオファージ へのクローニング、並びにヌクレオチド配列決定のための原型であった。

## [0009]

EBV-ゲノムは、ユニークなタンデムに反復するDNA成分から構成される単一の二重鎖DNA分子から構成される。DNA分子の各末端は、ゲノムの共有結合及び循環を可能にする多重末端配列を含む。ウイルス粒子内では、EBVゲノムは直鎖形でしか検出することができない。他方、潜伏感染細胞の核の内側では円形エピソームとして存在する。

#### [0010]

内部反復配列IR1~IR4は、EBVゲノムを5つのユニーク領域に分離する。U2及びU3領域はEBV単離株によって著しく異なり、U2はEBVのP3HR-1株ではほぼ完全に欠失されている。

# [0011]

EBVリーディングフレームの名称はウイルスゲノムにおけるその位置に基づく。名称は、発現が開始されるBamH1又はEcoR1制限フラグメントの頭文字で始まる。名称の3番目の文字は、発現が標準地図上で左向きであるか右向きであるかに依存してL又はRである(例えば、BLLF2はBamH1制限フラグメントLで開始する第2番目の左向きのリーディングフレームである)。

### [0012]

EBVの産生サイクルにおけるウイルス抗原の血清学的分類は、種々の蛍光法により行われる。

# [0013]

固定した潜伏感染 B 細胞(例えば R a j i 細胞)の核中で抗補体免疫蛍光法により特異的に検出された抗原は、エプスタイン・バール核抗原(EBNA)として分類される。

# [0014]

化学的因子又はウイルス因子によるウイルス遺伝子発現の活性化後、ウイルスDNA合成の阻害により合成が阻止されるような初期抗原(EA)の類が検出される。使用される固定液の型(メタノール又はアセトン)に応じて2種の異なるEA組即ちEAR及びEADが検出可能である。EAは誘導細胞の細胞質及び核中で間接免疫蛍光法により検出可能である。ウイルスDNA合成の開始後(この合成に依存して)、ウイルス産生細胞(例えばP3HR1細胞)の細胞質及び核中で間接免疫蛍光法により検出可能なウイルス構造タ

ンパク質(VCA)が合成される。ウイルス産生のために誘導された生存可能な感染細胞の表面には、1組の抗原(MA)が間接的免疫蛍光法により検出可能である。これらの抗原はウイルスエンベロープ上にも検出することができ、ウイルス中和のための重要なターゲットである。ヒト血清中におけるEBV特異抗原の検出は、Menke及びHenle(Human Pathology, 5, 551-565, 1974)により記載されているような血清学的方法により定型的に実施することができる。

#### [0015]

生化学及び免疫蛍光データに基づき、 5 種の異なる抗原分子の型を区別することができる。種々のウイルスポリペプチドはその分子量により命名され、ウイルスエンベロープタンパク質以外は共通名称がついていない。 5 種の異なる抗原グループは以下の通りである

10

20

30

- A.潜伏状態中に発現される抗原グループ(EBNA及びLMP)。
- B.ゲノム活性化及びウイルス増殖の初期誘導に関与する抗原グループ(IEA)。
- C.IEA遺伝子産物により誘導され、ウイルスDNAの複製に必要な抗原グループ。これらの抗原は大部分がウイルス酵素である(EA)。
- D. ウイルス粒子の構造成分であり、ウイルス D N A 合成の開始後にウイルス増殖サイクルで後期に発現される抗原グループ( V C A)。
- E. 感染細胞の細胞膜中で発現される抗原グループ (MA)。
- EBVのウイルスキャプシド抗原(VCA)。

### [0016]

この抗原複合体については、使用されるポリアクリルアミドゲル系、細胞系及び化学的インデューサ並びに使用される血清が異なるため、種々の研究で同定された EBV 特異的タンパク質を比較するのは困難であるという問題もある。

#### [0017]

Dolyniukら(1979)は、精製ビリオンに関連する合計33個のタンパク質について記載している。洗浄剤による示差可溶化によると、ヌクレオキャプシドは少なくとも7個のタンパク質から構成されると考えられる。VCA複合体の主要成分は主要キャプシドタンパク質(MCP)である。EBV・MCPはウイルスゲノムのBcLF1リーディングフレームの内側でコードされ(Bearら,1984)、7.5~9.0のpIを有するEBV産生細胞系で153~160kDa非グリコシル化タンパク質として発現される。このタンパク質は細胞質中で可溶形態で合成された後、核に輸送され、キャプシドに封入され、もはや洗浄剤により可溶化されない。別の主要VCA成分は125kDaの分子量を有しており、グリコシル化されている。このタンパク質はウイルスゲノムのBALF4リーディングフレームの内側でコードされる。この糖タンパク質は最初はVCA成分として分類されたが、最近の知見によると、実際には細胞質及び核膜構造に関連するものと思われる。

# [0018]

従来記載されている実験(J.M.Middeldorp及びP.Herbrink,J.Virol.Meth.,21,133-146,1988)は、種々のEBV疾患に関して診断上関連するEBVマーカータンパク質の同定及び特徴付けを目的としている

40

### [0019]

これは、VCA/EA又はEAの発現のために誘導されたウイルス産生細胞系HH514-C16(P3HR1の超誘導体)、並びにEBV陰性細胞系Ramos及びBjabから調製された抗原を含むイムノブロットストリップを使用することにより実施された。(完全な)潜伏状態でEBVゲノムを担持する細胞系即ちX50-7及びJC-5を使用して詳しくEBNA/LMPを研究することができる。

#### [0020]

健康な血清陽性供血者の血清と、IM患者及び慢性IM患者又は上咽頭癌のようなEBV関連腫瘍患者の血清とでEBV抗体応答のパターンが研究された。定義されたEBVゲ

ノム産物に対して反応性のポリクローナル及びモノクローナル抗体を使用し、この実験系で検出されたタンパク質バンドのいくつかを特徴付けることができる。しかしながら、これらの研究は所定の分子量を有するポリペプチドのタンパク質についてしか記載していない。これらのタンパクのEBVゲノム上のコーディング配列については何ら記載されていない。イムノブロット上の免疫反応バンドが同一分子量の単一タンパク質との反応によるのか又は複数タンパクとの反応によるのかについては不明である。

### [0021]

イムノブロット法を使用すると、18kDaの分子量を有するEBV抗原を検出することが可能である。このタンパク質はウイルスDNA合成を阻止するためにホスホノ酢酸(PAA)を使用する場合には発現されず、抗VCA抗体を含む全血清により検出されることから、VCA関連成分であると考えられる。別のVCA成分は40kDaの分子量を有するタンパク質である。ウイルスキャプシド抗原の多くは核ペレットに関連している。

### [0022]

現在、EBV特異的血清診断は、かなり主観的な免疫蛍光試験により行われている。標準ウイルス産生細胞系を使用してウイルス抗原を大量生産及び精製することはできないので、より簡単で均質な診断法(例えばELISA)への発展は妨げられている。これを実現するための唯一の手段は、代替的に製造されたEBV抗原を使用することであると思われる。これらのEBV抗原は遺伝子工学法又は合成ペプチド法により製造することができる。

## [0023]

EBV感染の種々の段階で確実な診断を実施できるように特異的且つ高感度の方法を開発するためには、免疫優性ウイルスタンパク質及びそのエピトープを同定することが極めて重要である。

# 【発明の開示】

### [0024]

本発明は、夫々エプスタイン・バールウイルス(EBV)オープンリーディングフレームBFRF3及びBdRF1の内側でコードされたVCA-p18又はVCA-p40タンパク質の少なくとも一部を含み、抗エプスタイン・バールウイルス抗体に対して免疫化学的に反応性のペプチド又はそのフラグメントを提供する。従って、夫々176及び345個のアミノ酸、並びにEBV抗体に対して免疫化学的に反応性である配列番号2及び4に示すアミノ酸配列を有するペプチドが本発明に含まれる。

# [0025]

本発明のペプチドは、試料中のEBV又はEBV抗体の存在を決定するための診断方法で使用するのに特に適していることも判明した。更に、本発明のペプチドのうちには、EBV関連疾患の治療に適切な製薬形態で使用できるものもある。こうして得られ、ペプチド又はそのフラグメントを有効成分として含有するワクチンの製造は当業者に公知である

### [0026]

天然 EBVとは対照的に、本発明のペプチドは安全な非感染起源であるという大きな利点を有する。

# [0027]

本発明は更に、抗エプスタイン・バールウイルス抗体に対して同様に免疫化学的に反応性である該ペプチドのフラグメントも包含する。

# [0028]

本明細書で使用される「ペプチド」なる用語は、生物学的活性を有するアミノ酸の分子鎖を意味し、産物の特定長を表すものではない。従って、特にタンパク質、融合タンパク質又は融合ペプチド、オリゴペプチド及びポリペプチドが含まれる。必要に応じて本発明のペプチドは、例えばグリコシル化、アミド化、カルボキシル化又はリン酸化によりinvivo又はinvitroで修飾することができる。従って、本発明のペプチドの機能的変異体、例えば酸付加塩、アミド、エステル(特にC末端エステル)及びN・アシ

10

20

30

40

20

30

40

50

ル誘導体も本発明の一部とみなされる。本発明に含まれる個々のタンパク質又はポリペプチドには天然(通常の)変異が存在するものと理解されよう。これらの変異は、例えば配列全体のアミノ酸変異又は該配列におけるアミノ酸の欠失、置換、挿入、逆位もしくは付加により表される。生物学的及び免疫学的活性を本質的に変えないことが期待できるようなアミノ酸置換については既に報告されている。関連アミノ酸間のアミノ酸置換、又はしばしば進化中に生じた置換としては、特にSer/Ala、Ser/Gly、Asp/Gly、Asp/Gly、Asp/Gly、Asp/G1y、Asp/G1y、Asp/G1y、Asp/G1g、Asp/Asn、Ile/Valが挙げられる(Dayhof,M.D, Atlas of protein seauence and structure, Nat.Biomed.Res.Found., Washington D.C.,1978 vol.5 supp1.3参照)。この情報に基づき、Lipman及びPearsonは迅速且つ高感度でタンパク質を比較し(Science 227 1435-1

[0029]

本明細書で使用される「フラグメント」なる用語は、本発明のペプチドのサブ配列を含むアミノ酸配列を意味する。該フラグメントは、VCA-p18又はVCA-p40タンパク質の1種以上の抗原決定基を有するペプチドである。フラグメントは特に、DNAの場合には制限エンドヌクレアーゼを使用し、ポリペプチドの場合にはプロテアーゼを使用して前駆物質分子の酵素切断により製造することができる。他の方法としては、フラグメントの化学的合成及びDNAフラグメントによるペプチドフラグメントの発現などがある

[0030]

1つ以上のエピトープを含む本発明のペプチドの適当な免疫原フラグメントは、いわゆるペプスキャン(pepscsan)方法、即ち問題の完全ポリペプチドの部分的配列に対応する部分的に重複した一連のペプチドを合成し、抗体に対するこれらペプチドの反応性を調べる方法に基づく、特許出願WO86/06487号、Geysen、H.M.ら(Proc.Nat1.Acad.Sci.81,3398-4002,1984)、Geysen,H.M.ら(J.Immuno1.Meth.102,259-274,1987)の方法によって検出できる。また、これらペプチドの多くの領域は、理論的考察(これらの理論的考察の予測の価値(predictive value)は限定られているが)に基づく指定されたエピトープであり得る。これらの領域の決定は、Hopp及びWoodsの親水性基準(Proc.Nat1.Acad.Sci.78,3824-3828,1981)とChou及びFasmanの二次構造アスペクト(Advances in Enzymology 47,45-148,1987)との組合わせに基づく。

[0031]

本発明の好ましいペプチドは、SEQ ID NO:5及びSEQ ID NO:6に示すようなアミノ酸配列のうちの少なくとも1つを含むペプチドである。最も好ま NO:6に示すようなアミノ酸配列に連結したSEQ ID NO:5に示すようなアミノ酸を含むペプチドである。このようなコンビペプチド(combi‐peptide)は、EBV-VCAに対するIgA、IgM抗体の特異的が出に極めて有用であり、標準的な血清学的方法と同等かそれ以上の感度を有することが判明した。このようなIgM-EBVが急性一次EBV感染の有用な診断マーカー(diagnostic marker)であるのに対し、EBVに対するIgAは上咽頭癌のおりのままでありていない個体では陰性である。また、特定のサブクラスの各抗に関する抗体力価の変化も診断上の価値(diagnostic value)を有し得る。種々のサブクラスの抗体はEBV感染の種々の段階で特異的な診断価値を有するため、本発明のコンビペプチドを例えばELISAのような診断テストで使用すれば極めて有利であり得る。

#### [0032]

本発明のペプチド又はそのフラグメントの製造は、公知の有機化学的ペプチド合成方法の1つ又は組換えDNA技術を用いて行う。

### [0033]

有機化学的ペプチド合成方法は、均質相中での又はいわゆる固相を用いる縮合反応による必要なアミノ酸の結合を含むとみなされる。前記縮合反応は下記のように実施し得る:a)遊離カルボキシル基と別の保護された反応基とを有する化合物(アミノ酸、ペプチド)を、縮合剤の存在下で、遊離アミノ基と別の保護された反応基とを含む化合物(アミノ酸、ペプチド)と縮合させる;

b)活性化カルボキシル基と別の遊離もしくは保護された反応基とを含む化合物(アミノ酸、ペプチド)を、遊離アミノ基と別の遊離もしくは保護された反応基とを含む化合物(アミノ酸、ペプチド)と縮合させる。

カルボキシル基の活性化は特に、カルボキシル基を、酸ハロゲン化物、アジ化物、無水物、イミダゾリド(imidazolide)又は活性化エステル、例えばN-ヒドロキシ-スクシンイミド、n-ヒドロキシ-ベンゾトリアゾールもしくはp-ニトロフェニルエステルに変換することによって実施し得る。

### [0034]

前記縮合反応の最も一般的な方法は、カルボジイミド法、アジド法、混合無水物法、及び活性化エステルを用いる方法である。これらの方法は例えばPeptides, Analysis, Synthesis, Biology Vol. 1 - 3 (Gross, E. 及びMeienhofer, J. 編) 1979, 1980, 1981 (Academic Press, Inc.) に記載されている。

#### [0035]

前述のような本発明のペプチドの適当なフラグメントを「固相」を用いて製造する方法は、例えばJ.Amer.Chem.Soc.85,2149(1963)及びInt.J.Peptide Protein Res.35,161-214(1990)に記述されている。製造すべきペプチドのアミノ酸の結合は通常カルボキシル末端側から始まる。

### [0036]

この方法には、反応基を担持しているか又は反応基の導入が可能な固相が必要とされる。これは例えば、反応性クロロメチル基を有するベンゼンとジビニルベンゼンとのコポリマー、又はヒドロキシメチルもしくはアミン官能基と反応するようにしたポリマー固相であり得る。特に適当な固相は例えば、Wang(1974),J.Am.Chem.Soc.95,1328に記述されているp-アルコキシベンジルアルコール樹脂(4-ヒドロキシ・メチル・フェノキシ・メチル・コポリスチレン・1%ジビニルベンゼン樹脂)である。ペプチドは合成後に緩和条件下で前記固相から分離し得る。

# [0037]

所望のアミノ酸配列の合成後は、例えばトリフルオロメタンスルホン酸を用いて、又はトリフルオロ酢酸に溶解したメタンスルホン酸を用いて、樹脂からペプチドを分離する。ペプチドはまた、低級アルコール、好ましくはメタノール又はエタノールでのエステル交換(transesterification)により担体から除去することができる。この場合は、ペプチドの低級アルキルエステルが直接形成される。また、アンモニアを用いて分離すると本発明のペプチドのアミドが得られる。

# [0038]

前記縮合反応に参加し得ない反応基は、既述のように、酸もしくは塩基を用いる加水分解又は還元によって極めて容易に再除去できる基により効果的に保護される。例えばカルボキシル基は、例えばメタノール、エタノール、第三ブタノール、ベンジルアルコール又は p - ニトロベンジルアルコール及び固体支持体に結合したアミンでのエステル化により効果的に保護することができる。

## [0039]

50

10

20

30

アミノ基を効果的に保護できる基としては、エトキシカルボニル、ベンジルオキシカルボニル、 t - ブトキシ - カルボニル( t - b o c )もしくは p - メトキシ - ベンジルオキシカルボニル基、又はスルホン酸から誘導された酸基、例えばベンゼンスルホニルもしくは p - トルエン - スルホニル基が挙げられるが、その他に、置換もしくは未置換アリールもしくはアラルキル基のような基、例えばベンジル及びトリフェニルメチル、又はオルト-ニトロフェニルスルフェニル及び 2 - ベンゾイル - 1 - メチル - ビニルのような基も使用できる。特に適当な - アミノ保護基は例えば、塩基に敏感な 9 - フルオレニル・メトキシカルボニル(Fmoc)基[Carpino & Han(1970),J.Amer.Cehm.Soc.92,5748]である。

#### [0040]

使用可能な保護基は例えばThe Peptides, Analysis, Synthesis, Biology, Vol. 1 - 9 (Gross, Udenfriend及びMeienhofer編) 1979 - 1987 (Academic Press Inc.) に詳述されている。

#### [0041]

また、リシンの - アミノ基を保護することも必要であり、アルギニンのグアニジン基に関しては適切なことである。この場合の一般的な保護基は、リシンの場合にはBoc基、アルギニンの場合にはPmc基、Pms基、Mbs基又はMtr基である。

#### [0042]

これらの保護基は、例えばトリフルオロ酢酸を用いて、又は例えば水素とパラジウムのような触媒もしくは氷酢酸中のHBrを用いる緩和還元により、個々の基の種類に応じて種々の一般的方法で除去できる。

#### [0043]

既述のように、本発明のペプチドは組換えDNA技術によって製造することもできる。この可能性は、ペプチドを反復配列に組込む("in tandem")場合、又はペプチドが(遥かに大きい)タンパク質もしくはポリペプチドの構成要素として、あるいは例えば = ・ガラクトシダーゼ(の一部分)との融合タンパク質として製造され得る場合には特に重要である。従って、この種のペプチドも本発明の範囲内に含まれる。そのためには、組換えDNAの構成要素として、本発明のペプチドをコードし且つ核酸セグメントを実質的に含まない核酸配列を使用する。前記核酸セグメントは天然のEBVゲノム中で前記核酸配列の側方に位置するものである。

## [0044]

この方法は、宿主として適当な微生物中で、問題の1つ以上のペプチドをコードする核酸配列を含む組換えポリヌクレオチドを発現させることにより、所望のペプチドを製造する操作を含む。

### [0045]

従って本発明は、本発明のペプチドをコードする核酸配列も包含する。この核酸配列は、SEQ ID NO:1及び/又は3に示すような核酸配列の少なくとも一部分を含むのが好ましい。

### [0046]

本明細書中の「核酸配列」は、任意の長さのポリマー形態のヌクレオチドを意味し、リボ核酸配列及びデオキシリボ核酸配列の両方にかかわる。原則として、この用語は分子の一次構造にかかわる。従ってこの用語には、二本鎖及び一本鎖DNAと、二本鎖及び一本鎖RNAと、これらを修飾したものとが含まれる。本発明の核酸配列は、天然の状態では該核酸配列と結合しない種々の複製実行DNAに連結でき、その結果適当な宿主の形質転換又はトランスフェクションに使用し得るいわゆる組換えベクター分子が得られる。有用な組換えベクター分子は、好ましくは、例えばプラスミド、バクテリオファージ、コスミド又はウイルスに由来する。本発明の核酸配列をクローンするのに使用できる特定のベクター又はクローニングビヒクルは当業者には公知であり、その具体例としては特にpBR322のようなプラスミドベクター、種々のpUC、pGEM及びBluescript

10

20

30

40

20

30

40

50

#### [0047]

本発明の組換えベクター分子は更に、所望の形質転換体の選択に使用し得る1つ以上のマーカー活性、例えばpBR322中のアンピシリン及びテトラサイクリン耐性、例えばpUC8におけるアンピシリン耐性及び - ガラクトシダーゼの - ペプチドを含み得る

#### [0048]

本発明は、対応する核酸配列の発現によって本発明のペプチドを産生することができる 、核酸配列又は前述の組換え発現ベクター分子で形質転換又はトランフェクションした宿 主細胞も包含する。適当な宿主細胞は、ペプチドをコードする核酸配列によって、又はこ のような核酸配列を含み且つ所望であれば前述の核酸配列によりコードされる前記ペプチ ドの発現に使用し得る組換えベクター分子によって形質転換できる微生物又は細胞である 。この宿主細胞は原核生物由来のもの、例えば大腸菌(Escherichia col i)、Bacillus subtilis及びPseudomonas種のような細菌 に由来するもの;又は真核生物由来のもの、例えばSaccharomyces cer e v i s i a e のような酵母あるいはより高等な真核細胞、例えば昆虫細胞、植物細胞、 もしくはHeLa細胞及びチャイニーズハムスター卵巣(CHO)細胞を含む哺乳動物細 胞に由来するものであり得る。一般的には、本発明で有用な組換えベクター分子の構築に は真核細胞の方が好ましい。発現のためには、本発明の核酸配列を発現ベクター中に導入 する。即ち、前記配列を発現制御配列に操作可能なように結合する。このような制御配列 はプロモーター、エンハンサー、オペレーター、インデューサー、リボソーム結合部位等 を含み得る。従って本発明は、形質転換又はトランフェクションした宿主細胞中で自分が 含んでいるDNA配列を発現することができる、発現制御配列に作用可能なように結合し 前述の特定したペプチドをコードする核酸配列を含む組換えベクター分子を提供する。勿 論、クローニングベクターの選択された部位に挿入されるヌクレオチド配列は、形質転換 又はトランフェクションされた宿主が少なくとも1つの免疫原性決定基を有するポリペプ チドを産生する限り、本発明のペプチドをコードする完全核酸配列のフラグメントだけを 含み得る。

### [0049]

本発明のペプチドに対する抗体も本発明の範囲に含まれる。前述の方法で形成されたペプチド又はそのフラグメントはポリクローナル抗体及びモノクローナル抗体を産生するのに使用される。本発明のペプチドに対するモノクローナル抗体は当業者によって容易に産生できる。本発明のVCA-p18タンパク質の種々のエピトープに対する好ましい抗体は、Porton Down(UK)のEuropean Culture of Animal Cell Cultures(ECACC)に寄託番号93020413又は93020412で寄託去れたラット・マウスハイブリドーマ細胞系によって産生した抗体と同様の反応性をVCA-p18に対して示す抗体である。VCA-p40タンパク質のエピトープに対する好ましい抗体は、Porton Down(UK)のEuropean Culture of Animal Cell Cultures(ECACC

20

30

40

50

)に暫定的寄託番号 9 3 0 2 0 4 1 4 で寄託されたマウス・マウスハイブリドーマ細胞系によって産生した抗体と同様の反応性を V C A - p 4 0 に対して示す抗体である。

#### [0050]

本発明のモノクローナル抗体を分泌できる無限増殖性化した細胞系も本発明の範囲に含まれる。モノクローナル抗体を産生する細胞系の形成は、例えばKohler及びMilsteinの方法(Kohler及びMilsteinはモノクローナル抗体産生ハイブリドーマを形成する技術を創案した(G.Kohler及びC.Milstein,1975,Nature 256:495-497;1976,Eur.J.Immunol.6:511-519))、Epstein-Barrウイルスでの形質転換、腫瘍形成性DNAによるBリンパ球の直接形質転換方法、ヒトもしくはマウス・ヒトハイブリッド骨髄腫細胞系を融合相手とするヒトBリンパ球の直接融合、又はEBV形質転換B細胞と前記骨髄腫細胞系との直接融合によって実施し得る。

#### [0051]

本発明の好ましい細胞系は、Porton Down(UK)のEuropean Collection of Animal Cell Cultures (ECACC)に寄託番号93020413、93020412、93020414で寄託された細胞系である。これらの細胞系は、1977年のブダペスト条約の条件に従い、1993年2月4日にECACCに寄託された。

#### [0052]

寄託番号93020413及び93020412の細胞系はどちらも、VCA-p18タンパク質の2つのエピトープに対するモノクローナル抗体(それぞれEBV.OT15E及びEBV.OT151)を産生することができる。これらの細胞系はラット・マウスハイブリドーマ細胞系である。暫定的寄託番号93020414の細胞系は、VCA-p40タンパク質のエピトープに対する抗体を産生することができ、マウス・マウスハイブリドーマ細胞系である。これらの細胞系によって産生された抗体は、それぞれのタンパク質のエピトープを同定するのに使用した(後述の実施例で説明する)。

#### [0053]

本発明のペプチドに対する抗体はモノクローナルでもポリクローナルでも、組織試料中でその場で検出するための診断及び免疫細胞化学で極めて有用であり、ニュートラライズしている抗体は受動免疫療法で極めて有用である。特にモノクローナル抗体は抗イディオタイプ抗体の産生に使用し得る。抗イディオタイプ抗体の産生方法は当業者には公知である。本発明のモノクローナル抗体と反応する抗イディオタイプ抗体は既述のように本発明の範囲に含まれる。

#### [0054]

# [0055]

抗・イディオタイプ抗体の産生方法は当業界で公知である。例えば、本発明の抗・イディオタイプ抗体は、モノクローナル抗体でBALB/cマウスを免疫感作し、標準文献方法に従ってグルタルアルデヒドを用いてKLHに結合させ、フロイント完全アジュバントと混合することにより得られる。これらのマウスの脾臓細胞を不死化し、このようして得られたハイブリドーマを抗・イディオタイプ抗体産生に関してスクリーニングし得る。ハイブリドーマのスクリーニングは、例えば、本発明のモノクローナル抗体を固相(マイク

ロタイタープレートのウエル)に結合させ、次いで固相を成長ハイブリドーマの培養上清とインキュベートすることにより実施し得る。西洋ワサビペルオキシダーゼ(HRP)に結合させたEBVペプチドを添加してもよい。培養上清中の抗・イディオタイプ抗体の存在は、このペプチド結合体と、固相上にコートしたモノクローナル抗体との結合阻害により表示される。

### [0056]

抗・イディオタイプ抗体は、例えば、EBV・抗体を使用する免疫アッセイに於けるヒト及び/または動物EBV・抗原の結合を阻害するために使用し得る。あるいは、抗・イディオタイプ抗体は、以後記載する免疫試薬の模擬薬として使用してもよい。前記抗・イディオタイプ抗体は、EBVの診断及び治療並びに、EBV・抗原の重要なエピトープ領域の解明にも有用である。本発明の1種以上のペプチドまたは抗体を含む免疫化学試薬は、本発明の一部である。

#### [0057]

本発明の「免疫化学試薬」という用語は、通常本発明の1種以上のペプチド及び標識物質または好適な支持体からなる。本明細書中で使用し得る「支持体」という用語は、ミクロ試験ウエル若しくはキュベット、チューブ若しくはキャピラリー、膜、フィルタ、試験片の内壁、または、例えば、ラテックス粒子、赤血球、染料ゾル、金属ゾル若しくは、ゾル粒子などの金属化合物、キャリヤ蛋白質(例えば、BSAまたはKLHなど)の表面を指す。本明細書中で使用し得る「標識物質」とは、中でも、放射性同位体、蛍光性化合物、酵素、染料ゾル、金属ゾル、またはゾル粒子としての金属化合物を指す。サンプル中のEBVに対する抗体の検出方法に於いては、本発明の免疫化学試薬をサンプルと接触させる。その後、サンプル中のペプチドと抗体との間に形成した免疫複合体の存在を検出し、このように検出することによりサンプル中のEBV抗体の存在が知られ、定量的に測定され得る。

### [0058]

免疫化学試薬の性質及び特徴に依存して、生起する免疫化学反応は、所謂サンドイッチ 反応、凝集反応、拮抗反応または阻害反応である。

#### [0059]

サンプル中のEBVを検出するために、本発明の1種以上のペプチドを含む本発明の免疫化学試薬をサンプル及び抗 - EBVと接触させ、その後、形成した免疫複合体の存在を検出し、次いでこれから、サンプル中のEBVの存在を決定し得る。

# [0060]

サンプル中のEBVを検出するための特に好適な方法は、標識物質のついた本発明のペプチドとEBV抗原(サンプル中に存在する)との間の拮抗反応に基づいており、これによりペプチド及び抗原は、固体支持体に結合したEBVに対する抗体と競合する。

### [0061]

本発明は、さらに、本発明の抗体をサンプルと接触させ、その後、サンプル中のエプスタイン・バーウイルスの存在の尺度である形成された免疫複合体の存在を検出することを特徴とする、サンプル中のエプスタイン・バーウイルスの検出方法も含む。本発明の試験キットは、必須の構成成分として上記記載の免疫化学試薬を含む。EBV抗体を検出するためにサンドイッチ反応を実施する場合、試験キットは、例えば、固体支持体(例えば、ミクロ試験ウエルの内壁)にコートされた本発明のペプチド及び本発明の標識ペプチドは標識抗・抗体のいずれかを含み得る。拮抗反応を実施する場合には、試験キットはには標識抗・抗体のいずれかを含み得る。活抗反応を実施する標識抗体、好ましくは前記ペプチドに対するモノクローナル抗体を含み得る。凝集反応に於いては、試験キットは、粒子またはゾルにコートした本発明のペプチドを含有する免疫化学試薬を含み得る。試験キットのもう一つの態様としては、例えば、固体支持体にコートされているEBVに対する抗体上の結合部位を検出するためのEBVとの拮抗反応に於いて、免疫化学試薬として本発明の標識ペプチドを使用することである。

### [0062]

50

10

20

30

欧州特許第201,814号及び同第329,822号に各々記載の、例えば、ポリメラーゼ連鎖反応(PCR)または核酸配列をベースとする増幅(NASBA)などの核酸増幅方法によりEBV DNAまたはRNAを検出するために、試験に於いて配列番号1及び/または3に示される新規ヌクレオチド配列を使用することも本発明の範囲内である。前記エプスタイン・バールウイルス核酸配列の核酸増幅を実施し、増幅された配列を検出するために、本発明のプライマーの少なくとも1つの核酸配列またはそのフラグメントを使用する、サンプル中のエプスタイン・バーウイルス核酸配列を増幅及び検出するための方法は、本発明の一部である。上記記載の増幅方法を実施するための、本発明のヌクレオチド配列の少なくとも一部に対応する少なくとも1セットのプライマーを含む試験増幅キットも本発明の一部である。

10

# [0063]

(実施例)

本発明を、以下の実施例によりさらに説明されよう。

### 【実施例1】

[0064]

EBV蛋白質をコードする新規DNA配列を単離且つ同定する方法。

[0065]

新規EBVマーカー分子中を同定するための通常の方法は、以下の段階に細分され得る

1.EBVマーカー分子と特異的に反応性の抗体試薬の同定及び産生。

20

30

- 2. EBV発現細胞から単離されたポリ A選択mRNA若しくは全細胞mRNAからの c DNAバンクの調製または、好ましくは g t 1 1 ファージ中でのウイルスゲノムの フラグメントからのゲノム DNA バンクの調製、次いで上記抗体試薬を用いる、ファージによって合成された蛋白質のスクリーニング。
- 3 . 反応性ファージの精製及び、ファージのゲノム内に含まれる EBV 特異的なインサート配列の同定。
- 4 . 対応する E B V 特異的読み取り枠を配置するための、公知プロトタイプ E B V ゲノム配列とインサート配列との相関。
- 5.代替的宿主細胞(例えば、E.Coli、バキュロウイルス、酵母若しくは高等真核細胞)または代替的発現、cq.産生システム中での同定した読み取り枠のクローニング、発現及び産生。

[0066]

これらの方法は、以下詳細に概説され且つ図1に記載のスキームに示されている。

[0067]

(フェイズ1:)

### 細胞培養及び細胞抽出物

P3HR1-誘導細胞系HH514.c16をローラーボトル内で懸濁培養として増殖し、Middeldorp及びHerbrink(J.Virol.Meth.,21,113-146,1988)により記載の如く正確に20ng/ml 12-テトラデカノホルボール-13-アセテート(TPA)及び3mM 酪酸ナトリウムを使用する、VCA-及びEA-発現を誘導した。EA-抗原のみを選択的に発現するために、誘導した細胞培養に0.5mM ホスホノ酢酸を添加することにより、ウイルス性DNAポリメラーゼをブロックした。

[0068]

### モノクローナル抗体

モノクローナル抗体を産生するために、BALB/CマウスをVCA-誘導HH514 細胞の核画分(F.Wielaardら.,J.Virol.Meth.,21,105-115,1988)または、これらの細胞若しくは代替的発現系由来の十分に精製した蛋白質で免疫感作した。ハイブリドーマが標準プロトコルにより産生し、上清を標準EBV免疫蛍光試験及び、VCA-誘導HH514細胞由来の抗原抽出物を含むイムノブロッ

ト片上で分析した ( Middledorp及びHerbrink , J . Virol . Meth . , 2 1 , 1 3 3 - 1 4 6 , 1 9 8 8 )。

### [0069]

## 抗VCA-p18抗体のアフィニティー精製

抗VCA-p18抗体を、Robinson及びMi11erの方法(The herpesviruses,vol.1,151-192,1991,Pub1.Plenum Pub1ishing Соrp.New York)を少し変形することによりヒトEBV-陽性血清から精製した。概略すると、10%アクリルアミドゲル中で電気泳動分離後、蛋白質をPVDF-膜(Mi11ipore Соrporation,Bedford,USA)上にブロットし、VCA-p18に対応するPVDF-膜上の領域を切り出し、アフィニティーマトリックスとして使用した。ストリップへの抗体の非特異的な結合は、ブロッキング溶液[リン酸緩衝塩水pH7.4(PBS)中、5% 乾燥粉末ミルク、4% ウマ血清]中で一晩インキュベーションすることにより防止した。その後、希釈したヒト血清(ブロック溶液中1:25)中でストリップを2時間インキュベートした。0.05% Tween-20を含むPBSで3回洗浄後、連続2回のインキュベーションに於ける結合抗体を0.1M グリシン、pH2.7で溶離した。溶離液をPBSに対して透析し、アリコート中-20 で貯蔵した。

## (フェイズ2:)

## H H 5 1 4 . c 1 6 細胞の R N A 精製

Maniatisら(Molecular cloning: A laboratory manual; Cold Spring Harbor Laboratory, New York, 1982)により記載の如く、グアニジニウム/CsCl法により誘導したHH514.c16細胞から全RNAを単離した。ポリ(A<sup>+</sup>)RNAの精製を、Ausubelら[Current protocols in molecular biology(1991)Greene Publishing Associates, John Wiely&Sons, New York]に記載の如くオリゴ(dT)クロマトグラフィー(Pharmacia, Inc., Piscataway N.Y.)で実施した。

## [0070]

## ノーザンブロット分析

全RNA(10μg)をグリオキサール(P.S.Thomas,Methods in Enzymology,100,255-266,1983)により変性し、アガロースゲル上で電気泳動した。臭化エチジウム染色後、分離したRNAをニトロセルロース上に真空 - ブロットした。 3 時間プレハイブリダイゼーション後、フィルタを、[ - 32P] - 標識(Amersham,Bristol,UK)されたランダムプライマー型の若しくはニックトランスレーションされたDNAプローブと42 で一晩ハイブリダイズリた。ハイブリダイゼーション溶液は、50%ホルムアミド、5×SSPE、5×Denhardts溶液 [0.1%(w/v)ポリビニルピロリドン、0.1%(w/v)BSA、0.1%(w/v)Ficoll]、0.2mgの超音波処理サケ精子DNA/ml及び0.5% SDSからなる。続いて、プロットを洗浄し、増感板を使用してX線フィルム(Eastman Kodak Co.,Rochester,N.Y.,USA)に対して露光した。

# [0071]

## - g t 1 1 に於ける c D N A ライブラリーの構築

 10

20

30

40

# 【 0 0 7 2 】 g t 1 1 ライブラリーの免疫スクリーニング

[0073]

(フェイズ3:)

### ヌクレオチド配列分析

反復プラークリフティング及び免疫スクリーニングにより精製した陽性プラークのインサートDNAを、その5<sup>\*</sup>-末端に制限部位を含む gt11フランキング配列のプライマーを使用するポリメラーゼ連鎖反応(PCR)により増幅した。好適な制限酵素で消化した後、DNA-フラグメントをpGEM-4Z中にサブクローン化し、Sangerら(Proc.Natl.Acad.Sci.,USA,74,5463-5467,197)の方法の変形を使用する配列キット(Pharmacia,Uppsala,Sweden)を使用して両側から配列決定した。

[0074]

(フェイズ4:)

### 配列の配置

Wisconsin大学、遺伝学コンピュータグループのソフトウエアプログラム(Gribshovら, Nucl. Acid res., 14.327-334, 1986)を使用して、配列を、EMBL-配列データベースに寄託してあるEBV-B95-8プロトタイプ(Baerら., Nature 310, 207-211, 1984)の公知配列と一直線に配置した。

[0075]

(フェイズ5:)

## E.coli中のBFRF3及びBdRF1のクローニング及び発現

EBVゲノムによってコードされる読み取り枠(ORFs)、BFRF3及びBdRF1を、ターゲットとしてHH514.c16培養上清から蔗糖密度勾配遠心分離により単離したウイルス粒子から精製したウイルスDNAを使用するPCRにより増幅した。その5′-末端に制限部位を含むプライマーの各セットを、LacZ遺伝子の5′末端の第5コドンに配置されている発現ベクターpMLB1113(PBR322の誘導体)(Zagurski及びBerman,Gene,27,183-101,1984)のEcoRI-HindIII部位の増幅フラグメントをクローニングするために使用した。これらの構築物から発現した蛋白質は、 ・ガラクトシダーゼの最初の5アミノ酸、その後に続く、 ・ガラクトシダーゼの残りに該蛋白質のC-末端で結合した組換体蛋白質からなる。非融合蛋白質を同様に構築したが、但し、挿入物の3′末端に停止コドンを挿入した

[0076]

## 組換体蛋白質のE.coli発現

形質転換したE.coli培養物を、1mM IPTG(イソプロピル・ ・D・チオガラクトピラノシド)を添加して誘導した。2時間で、誘導後の細菌細胞を遠心分離により収集し、SDS・PAGEサンプル緩衝液に懸濁させ、次いでイムノブロッティングにより分析した。

10

20

30

40

### 【実施例2】

### [0077]

V C A - p 1 8 及び V C A - p 4 0 タンパク質の免疫反応性

実施例1に概説した手順で得られたタンパク質の免疫反応性をイムノブロット分析によって試験した。このために、VCAで誘導されたHH514.c16細胞、あるいは、BFRF3-もしくはBdRF1- ガラクトシダーゼ融合タンパク質または ガラクトシダーゼ単独を発現する大腸菌の全細胞タンパク質を、SDS-PAGEによって分離し、ニトロセルロースにブロットした。これらのブロットから調製したストリップを個別の血清及び抗体の調製物と共にインキュベートした。

### [0078]

## イムノブロット手順

イムノブロット手順は基本的に、Middeldorp及びHerbrink(J.V irol.Meth.、21、p133~159、1988)の記載の手順に従って行な った。この手順を以下に要約する。SDS-PAGEタンパク質をニトロセルロースフィ ルター(0.2μ、Schleicher & Schuell、Den Bosch、 オランダ)に移した。ブロッキングバッファ(Tris緩衝塩水(TBS)中の4%粉末 ドライミルク、5%ウマ血清)と共に室温(RT)で少なくとも1時間のインキュベーシ ョンを行なうことによって、フィルターに対する抗体の非特異的結合を阻害した。ヒト血 清をブロッキングバッファによって適当な希釈度に希釈し、少なくとも1時間インキュベ ートした。ブロットまたはストリップをTBS+0.05% Tween-20(TBS t )で 3 回洗浄し、アルカリ性ホスファターゼ(AP)に結合した抗ヒトIg G 抗体(P romega)、またはHRPに結合した抗マウスIgGもしくは抗ラットIgG(Or ganon Teknika Cappel、Boxtel、オランダ)をブロッキング バッファに適当に希釈した溶液に添加した。更にインキュベーション及び洗浄処理した後 、APの基質としてニトロブルーテトラゾリウム(NBT)及び5-ブロモ-4-クロロ - インドリルホスフェート(BCIP)を用い、HRPの基質として4-クロロ-ナフト ールを用いて、ブロットを発色させた。

# [0079]

得られたブロットを図 2 の a ~ d に示す。ブロットのレーン 1 ~ 1 2 では以下の血清を 夫々使用した:

1. - Galに対するマウスモノクローナル抗体(Promega);

2 . 天然 ウイルスキャプシドタンパク質(EBV.OT41A)で免疫感作することによって増強したVCA-P40に対するマウスモノクローナル抗体;

3 . ウイルス V C A - P 1 8 の特異的イムノアフィニティ精製によって得られたウイルス V C A - P 1 8 に単一特異性のヒト抗体;

4-5. ヒトEBV - 血清陰性の血清;

6 - 1 6 . ウイルスVCA-P18及びVCA-P40に対して異なる相対反応性を有するヒトEBV-血清陽性の血清。

### [0800]

図2のaは、12.5%アクリルアミド中の還元性SDS-PAGEによって分離した天然ウイルスポリペプチドの免疫反応性を示す。抗 - ガラクトシダーゼ抗体(1)は陰性であるが、VCA-p40に特異的な抗血清(2)及びVCA-p18に特異的な抗血清(3)は夫々のウイルスタンパク質と反応する。ヒトEBV-陰性血清で染色したストリップ4及び5は反応性を全く示さないが、健常な血清陽性血液のドナー(6~15)または活性EBV疾患患者(16)中で観察したストリップ6~16は、EBV-タンパク質に対して種々の免疫反応性を示す。VCA-p18及びVCA-p40のバンドの位置を右側に示す。

### [0081]

図 2 の b は、 1 0 % アクリルアミド中の還元性 S D S - P A G E によって分離された V C A - p 1 8 - ガラクトシダーゼ融合タンパク質(B F R F 3 - L a c Z)を発現す

10

20

30

40

る大腸菌に由来の全細胞タンパク質の免疫反応性を示す。抗 - ガラクトシダーゼ抗体(1)及び抗VCA-p18抗体(3)は、134kDaの出発融合タンパク質が大腸菌中でタンパク質分解によって断片化されることによって生じた複数のタンパク質バンドと特異的に反応する。抗VCA-p40モノクローナル抗体(2)は、ヒトEBV-陰性の血清(4-5)と全く同様に陰性である。ウイルスVCA-p18に対して種々の反応性を示すヒト血清は、融合タンパク質に対しても同様の種々の反応性を示す。ここでも多数のバンドの染色は大腸菌中の融合タンパク質のタンパク質分解による分裂に起因する。

#### [0082]

図2のcは、大腸菌中のVCA-p40- - ガラクトシダーゼ融合タンパク質を同様に分析した結果を示す。このタンパク質はタンパク質分解の作用を受け難いので156k Daに単一バンドを生じる。図2のcは図2のbと同様に解釈できる。

[0083]

図 2 の d は、 - ガラクトシダーゼ単独を発現する大腸菌を用いた対照ブロットを示す

### [0084]

上記の試験より、個々の大腸菌構築物が夫々の融合タンパク質を実際に発現することは明らかである。ヒト血清は、発現されたタンパク質に対して天然ウイルスタンパク質に対するときと同じ反応性を示す。

【実施例3】

[0085]

免疫吸着

本発明の代替ペプチド及び対応する天然ウイルスタンパク質の免疫化学的一致は、(1種または複数の)天然ウイルスタンパク質を含むイムノブロットに反応性のヒト血清に、種々の濃度の本発明のペプチドを予め吸収させると、このブロットにおいて対応天然ウイルスタンパク質に対する特異的抗体反応性が消失することによって証明できる。この方法によれば、免疫化学的一致を証明できるだけでなく、イムノブロット上のウイルスタンパク質の免疫反応性が単一種の(主要)タンパク質種に対する抗体結合によって媒介されるという確実な証拠も得られる。

[0086]

上記のごとき実験をVCA-p18マーカータンパク質に対して行なった。

[0087]

即ち、3人の健康なEBV-血清陽性のドナーから得られたヒト血清(血清92、血清214及び血清219)の免疫反応性を、10%アクリルアミドゲル中の還元性SDS-PAGEによって分離したVCA-誘導HH514細胞から得られた核抗原を含む二トロセルロースストリップ上のイムノブロット分析によって試験した。イムノブロット分析の前に、漸増量の精製BFRF3- - ガラクトシダーゼ融合タンパク質または - ガラクトシダーゼ単独を血清に予め吸収させるために、+4 で一夜維持した。N-クロロ-ナフトールを沈降性基質として用い、ペルオキシダーゼ標識ヒツジ抗ヒトIgGを用いてIgG-反応性に関して染色した。

[0088]

この実験の結果を図3に示す。1:100に希釈した1mlの血清に予め吸収させるために使用した精製BFRF3 - ガラクトシダーゼ融合タンパク質の量を、図3に示すようなイムノブロットの夫々のレーンで分析すると以下の結果が得られた:

レーン 1:0 μg BFRF3 - - ガラクトシダーゼ;

レーン 2 : 0 . 0 1 μ g B F R F 3 - - ガラクトシダーゼ;

レーン3:0.1μg BFRF3- - ガラクトシダーゼ;

レーン4:0.5μg BFRF3 - - ガラクトシダーゼ;

レーン 5 : 1 µ g B F R F 3 - - ガラクトシダーゼ。

[0089]

- ガラクトシダーゼ単独を予め吸収させたレーンをレーン として示す。

20

10

30

40

20

30

#### [0090]

図3より、予吸収処理中にVCA-p18を示すバンド(矢印)の反応性が、BFRF3- - ガラクトシダーゼ融合タンパク質の濃度増加に伴って喪失されることが理解されよう。 - ガラクトシダーゼ単独を予め吸収させても全く効果がないこと、また、予吸収処理が別のEBV-タンパク質との反応性にも全く影響を与えないことが理解されよう。近縁でないタンパク質(例えば72kDのEBNAまたは40kDのVCA-p40)の染色は生じない。

### [0091]

上記の実験から、ヒト血清抗体によるウイルスVCA-p18の免疫染色はこれらの血清にBFRF3融合タンパク質を予め吸収させることによって特異的に阻害され、これがVCA-p18とBFRF3読取枠によってコードされるタンパク質との免疫化学的一致を証明することが明らかである。これらの実験はまた、ヒト血清とVCA-p18との反応性が単一ウイルスタンパク質との相互作用によって生じることを示す。

## 【実施例4】

# [0092]

PEPSCANによる免疫反応性エピトープの局在

## ペプチド合成及びイムノスクリーニング(PEPSCAN)

12個のアミノ酸(AA)の長さを有し且つORF BFRF3及びBdRF1のアミ ノ酸配列の11個のアミノ酸がオーバーラップしたペプチドを、Geijsenらによっ て最初に記載された化学的に活性化したポリエチレンピン上に全自動固相ペプチド合成法 (Proc. Nat. Acad. Sci.、アメリカ、83、3998~4002、19 84)によって合成した。健康なEBV血清陽性のドナーから採取した15の血清を用い 、EBV特異的抗体に対する免疫反応性を、Middeldorp及びMeloenによ って記載された方法(J. Virol. meth.、21、147~159、1988) で決定した。VCA-p18配列に由来の12個のアミノ酸から成るペプチドのPEPS CAN分析の結果を図4に示す。X軸の数字は、分析した12量体(12-mer)ペプ チドの各々のVCA-p18配列上の初期位置を示す。BFRF3読取枠にコードされた VCA-p18タンパク質の12量体ペプチドに対して反応性を有していたヒト血清のパ ーセンテージを図4のY軸に示す。同一組のピンに対するEBV - 血清陰性のヒト血清の 平均反応性を上回る標準偏差の3倍を陽性反応と定義する。図4から、3つの免疫支配性 ドメインを定義できる:ドメインI; AA120~140、ドメインII: AA152~ 1 5 5 、ドメインIII:AA159~165(これらの数字はまたPEPSCANに使 用した12量体ペプチドの初期位置を示す)。表1は、この試験に使用した個々の血清の 各々に対して最も反応性の大きいペプチドを詳細に示している。表1の第1レーンは、個 々の血清の番号を示す。第2レーンは、ドメインIの内部の最も反応性の大きいペプチド の P E P S C A N O D 4 5 0 値 ( 4 5 0 n m の 光学密度)を示す。このペプチドはレー ン3に示されている。レーン4及び5はドメインII及びIIIに対する同様のデータを 示す。

## [0093]

# 【表1】

VCA-p18陽性血清の免疫学的応答(VCA-p18の重要なエピトープドメイン 中に局在するもっとも反応性の高いペプチドの応答のみを記載する) 15EBV

	ドメインI	(ペプチド 120-140)	ドメインⅡ	ドメインⅡ(ペプチド 152-155)	ドメイン田	ドメイン皿(ペプチド 159-165 )
血清番号	Elisa	ふしゃ	Elisa	ペプチド	Elisa	ペプチド
	OD450	A. A. 一配 列	$OD_{450}$	A, A, 一配 列	OD450	A. A. 一配列
Н	1, 418	120-TAVAQSATPSVS-132	1	1	1	I
2	1.820	120-TAVAQSATPSVS-132	0.678	155-DTGSGGGGQPHD-167	0, 423	162-GQPHDTAPRGAR-174
က	1. 228	128-PSYSSSISSLRA-140	l	I	0.808	162-GQPHDTAPRGAR-174
7	1. 230	128-PSYSSSISSLRA-140		1	0.761	162-GQPHDTAPRGAR-174
വ	0.540	128-PSVSSSISSLRA-140	[	I	1.354	162-GQPHDTAPRGAR-174
9	0. 731	129-SVSSSISSLRAA-141	I	I	1. 441	162-GQPHDTAPRGAR-174
_	0, 385	129-SVSSSISSLRAA-141	I	ļ	0.770	163-QPHDTAPRGARK-175
∞	1, 360	131-SSSISSLRAATS-143	ţ	l	1.343	160-GGGQPHDTAPRG-172
ග	1.598	131-SSSISSLRAATS-143	0.510	153-AVDTGSGGGGQP-165	1.481	162-GQPHDTAPRGAR-174
10	1.591	131-SSSISSLRAATS-143	0.474	153-AVDTGSGGGGQP-165	1.481	162-GQPHDTAPRGAR-174
ᆔ	1, 251	131-SSSISSLRAATS-143	0, 958	152-AAVDTGSGGGGQ-164	0, 774	162-GQPHDTAPRGAR-174
12	1.839	133-SISSLRAATSGA-145	I	1	0.407	162-GQPHDTAPRGAR-174
13	1. 128	134-ISSLRAATSGAT-146	0,460	154-YDTGSGGGGQPH-166	1. 535	162-GQPHDTAPRGAR-174
14	1,064	138-RAATSGATAAAS-150	ì	ı	1.319	162-GQPHDTAPRGAR-174
12	0,695	138-RAATSGATAAAS-150	ı	1	0.644	162-GQPHDTAPRGAR-174

# 【実施例5】

# [0094]

B F R F 3 によってコードされた V C A - p 1 8 タンパク質または B d R F 1 によってコードされた V C A - p 4 0 タンパク質に対するラット及びマウスのモノクローナル抗体による P E P S C A N O O O

10

20

30

実施例4に記載の手順と同様にしてヒト血清に対するPEPSCAN分析を行なって、モノクローナル抗体によって検出された直鎖状エピトープの位置を作図した。

#### [0095]

図5及び図6は、各々が異なる直鎖状エピトープを検出するVCA-p18に対する2つのラットモノクローナル抗体(夫々EBV.OT15E及びEBV.OT15I)を用いたかかる分析のPEPSCAN結果を示す。

#### [0096]

図7は、BdRF1読取枠によってコードされたVCA-p40に対するマウスモノクローナル抗体(EBV.OT41A)のPEPSCAN結果を示す。VCA-p40(BdRF1)配列に対する2つのラットモノクローナルの交差分析及びVCA-p18(BFRF3)配列に対するマウスモノクローナルの交差分析(vice-versa)は明白な陰性結果を示す。

#### [0097]

図 7 から、 E B V . O T 4 1 A が V C A - p 4 0 タンパク質の C 末端領域に明確な直鎖 状エピトープを認識することが明らかである。

#### 【実施例6】

### [0098]

コンピュータ分析及びPEPSCANによるBFRF3にコードされたVCA-p18タンパク質に由来の合成ペプチドの選択、及びこれらのペプチドと正常ヒトドナー血清との免疫反応性の分析

t - BOC化学を用いた標準固相合成によって合成ペプチドを調製した。

#### 【0099】

BFRF3によってコードされたVCA - p18タンパク質に由来のペプチドを、Jameson及びWolf(CABIOS 4、181~186、1988)によって開発されたコンピュータプログラム「抗原性指数」を用いて予測された高い抗原性に基づいて、または実施例4に記載したようなPEPSCANにおける機能性の高抗原反応性に基づいて選択した(図8のペプチド1及び2は前者に基づいて選択され、図8のペプチド3及び4は後者に基づいて選択された。ペプチド3及び4は表1のドメインI+ドメインII及びドメインIIIを示す)。更に、PEPSCANによって同定された最も反応性の大きい3つのドメインを結合させ、PEPSCAN反応性の低いペプチド領域を除去した結合ペプチドを調製した(図8のペプチド5)。

## [0100]

以下のアミノ酸配列を有するペプチド1~5を、0.05MのNHCO3バッファ pH9.6中に1μg/mlの濃度で、固相、即ちポリスチレンマイクロタイタープレートのウェルにコートし、4 で一夜維持した。リン酸塩緩衝塩水(PBS)pH7.4で2回洗浄した後でウェルに100μlのヒト血清を充填し、0.05%Tween 20を含有するPBS(PBST)で1:100に希釈し、37 で1時間インキュベートした。PBS-Tで3回洗浄した後で、PBS-T中に適当な希釈度で希釈したHRP標識ヒツジ抗ヒトIgG抗体を添加し、37 で1時間インキュベートした。PBS-Tで3回洗浄した後で、結合した酵素活性を、テトラメチルベンジジンを基質として用いることによって検出した。30分後に、100μlの1MのH2SO4を添加することによって反応を停止させた。Multiscanホトメータを使用して450nmの吸光度を測定した。標準免疫蛍光血清学または前述のイムノブロット分析を用いて血清中のEBV抗体を試験した。

### [0101]

以下のペプチドを使用した:

ペプチド1: H2N-GVPRRQRAIDKRQRA-COOH;

ペプチド2: H2N-GOPHDTAPRGARKKO-COOH;

ペプチド3: H2N-AVDTGSGGGGPHDTAPRGARKKQ-COOH;

ペプチド4: H2N-STAVAQSATPSVSSSISSLRAATSGATAAA

20

10

30

40

#### - COOH;

ペプチド 5 : ペプチド 4 の C 末端及びペプチド 3 の N 末端の外部 ( e x t r a ) システイン残基を用い S - S - 架橋によって結合させたペプチド 4 と 3 との結合ペプチド。

#### [0102]

図8は、固相にコートしたペプチド1~5及び標準手順に従って1:100の希釈度で使用した健康なヒト血液ドナーのランダムパネルとを用いたELISA実験の結果を示す

## [0103]

次にこれらの血清について、ウイルスVCA-p18との反応性をイムノブロットによって試験した。

# [0104]

これらの実験によれば、自然感染した個体から得られた血清の場合、ほとんど全部の血清がペプチド1に対して陰性であり且つペプチド2は試験血清の約50%だけと反応したので、「抗原性指数」プログラムに基づいたコンピュータ予測では、これらの血清に対する免疫原性に関する予測値が全く得られないことは明らかである。PEPSCANに基づいて選択されたペプチドは試験血清の夫々に対して60~80%の良好な反応性を示す。意外にも、ペプチド3と4とを結合させた結合ペプチドは、ヒト血清に対して95%の反応性を示す。P18イムノブロット陰性血清は選択されたペプチド類に対して反応性を全く示さない。

## 【実施例7】

### [0105]

BFRF3によってコードされたVCA-p18タンパク質に由来の結合ペプチド5と種々のサブクラスのヒト血清抗体との反応性

実施例 6 に示すようなアミノ酸配列を有している結合ペプチド 5 を用い、種々のサブクラスのヒト血清免疫グロブリンに対す反応性を ELISA によって試験した(実施例 6 に記載の手順)。全ての場合に、実施例 6 と全く同様に結合ペプチド 5 を固相に使用した。 1 : 1 0 0 に希釈した血清を使用して実施例 6 に記載したように抗体反応性を検出した。 結果を図9~11に示す。 IgG 反応性を阻害するために、製造業者の指示通りに Gullls Iscorb(Gullls Iscorb(Gullls Iscorb(Gullls Iscorb(Gullls Iscorb(Gullls Iscorb)を Iscorb(Gullls Iscorb0 の Iscorb1 に Iscorb3 の Iscorb4 の Iscorb5 の Iscorb6 の Iscorb6 の Iscorb7 の Iscorb8 の Iscorb9 の

## [0106]

また、抗IgA特異的HRP標識第二抗体を使用し、Gu11 Sorbで処理した血清中のIgA反応性を検出した。図9の血清(IgG)は、標準血清学によってVCA-IgG陽性の76人の健康な血清陽性の血液ドナーとEBV抗体陰性の9人のドナーとから得られた。

### [0107]

図10の血清(IgM)は、標準血清学によってVCA-IgM陽性の26人の単核細胞症患者とVCA-IgM陰性でVCA-IgG陽性の18人の健康なドナーとから得られた。

### [0108]

図 1 1 の血清(I g A )は、I g A 特異的データは入手できなかったがI g G - V C A 陽性の 3 5 人の鼻咽頭癌患者と V C A - I g G 陽性の 7 人の健康なドナーとから得られた

# [0109]

上記実験より、VCA-p18に由来の結合ペプチドがEBV-VCAに対するIgG、IgM及びIgA抗体の特異的検出に使用でき、標準血清学的方法と同様の感度またはより優れた感度を有することが理解されよう。すべての場合にEBV陰性血清は陰性である。

10

20

30

3(

40

#### 【図面の簡単な説明】

[0110]

【図1】EBVによってコードされており且つVCA-p40及びVCA-p18タンパク質をコードする遺伝子を同定するために使用される方法の概略図である。

【図2】(a) EA及びVCAを発現させるように誘導されたウイルス産生細胞系HH514の核抗原抽出物のウェスタンブロットを示す。 (b) BFRF3 - ガラクトシダーゼ融合タンパク質を発現する大腸菌の全細胞溶解物のウェスタンブロットを示す。

(c) B d R F 1 - ・ガラクトシダーゼ融合タンパク質を発現する大腸菌の全細胞溶解物のウェスタンブロットを示す。 (d) ・ガラクトシダーゼだけを発現する大腸菌の全細胞溶解物のウェスタンブロットを示す。 ブロットを1組のヒト血清によってプローブした。ブロットのレーン1~16に以下の血清を夫々使用した:1. ・Galに対するマウスモノクローナル抗体(Promega);2.天然ウイルスキャプシドタンパク質(EBV・OT41A)で免疫感作することによって増強したVCA・P40に対するマウスモノクローナル抗体;3.ウイルスVCA・P18による特異的イムノアファニティ精製によって得られたウイルスVCA・P18に単一特異性のヒト抗体;4・5.ヒトEBV・血清陰性の血清;6・16.ウイルスVCA・P18及びVCA・P40に対して異なる相対反応性を有するヒトEBV・血清陽性の血清。

【図3】以下の量のBFRF3 - ガラクトシダーゼ融合タンパク質を予め吸収させた ニトロセルロースストリップ上の3つのヒト血清(血清92、血清214及び血清219)のイムノブロット: レーン1:0  $\mu$ g BFRF3 - ガラクトシダーゼ; レーン2:0.01 $\mu$ g BFRF3 - ガラクトシダーゼ; レーン3:0.1 $\mu$ g BFRF3 - ガラクトシダーゼ; レーン5:1 $\mu$ g BFRF3 - ガラクトシダーゼ。 - ガラクトシダーゼが単独に存在するレーンをレーン として示す。

【図4】PEPSCAN分析の結果: VCA-18配列に由来の12量体ペプチドと反応性の健康なEBV血清陽性ドナーに由来の15人のヒト血清のパーセンテージ。VCA-p18タンパク質のアミノ酸配列の内部の12量体ペプチドの初期位置をX軸に示す。

【図5】 V C A - p 1 8 に対するラットモノクローナル抗体(EBV.OT15 E)を用いた V C A - p 1 8 由来の 1 2 量体ペプチドの分析の P E P S C A N 結果(450 n m の 光学密度)を示す。

【図6】 V C A - p 1 8 に対するラットモノクローナル抗体(EBV.OT15I)を用いた V C A - p 1 8 由来の 1 2 量体ペプチドの分析の P E P S C A N 結果(450 n m の光学密度)を示す。

【図7】 V C A - p 4 0 に対するマウスモノクローナル抗体(EBV.OT41A)による V C A - p 4 0 タンパク質から誘導された 1 2 量体ペプチドの分析の P E P S C A N 結果を示す。

【図8】健康な血液ドナーから得られた43人のヒト血清サンプルのELISA反応性(450 n m の光学密度)を試験するために、BFRF3によってコードされたVCA-p18夕ンパク質に由来の選択された合成ペプチドに対するIgG-反応性を試験した結果を示す。 :標準血清学的分析による陰性血清を示す; :標準血清学的分析による陽性血清を示す; :標準血清学的分析によってEBV抗体を特定できないがイムノブロットで陰性の血清を示す; \*:標準血清学によって陽性であるがイムノブロット上の抗p18 抗体に陰性血清を示す。ペプチド1:H2N-GVPRRQRAIDKRQRA-COOH;ペプチド2:H2N-GQPHDTAPRGARKKQ-COOH;ペプチド3:H2N-STAVAQSATPSVSSSISSLRAATSGATAAA-COOH;ペプチド5:S-S-架橋によって結合させたペプチド4と3との結合ペプチド。

【図9】結合ペプチド5と抗体(a)ヒトIgG(76 VCA-I.F.陽性血清)との免疫反応性の分析(ELISA)を示す。

【図10】結合ペプチド5と抗体(b)ヒトIgM(26 IgM 陽性血清)との免疫

10

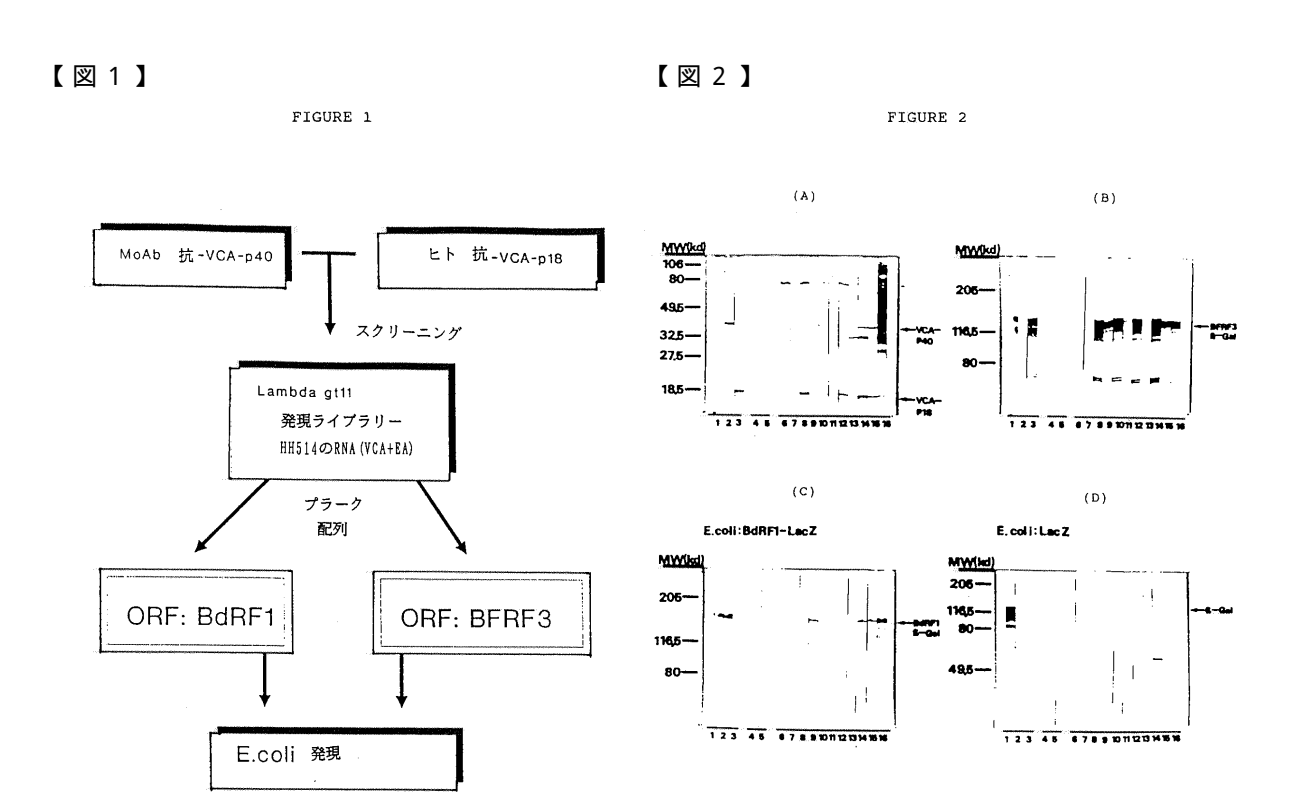
20

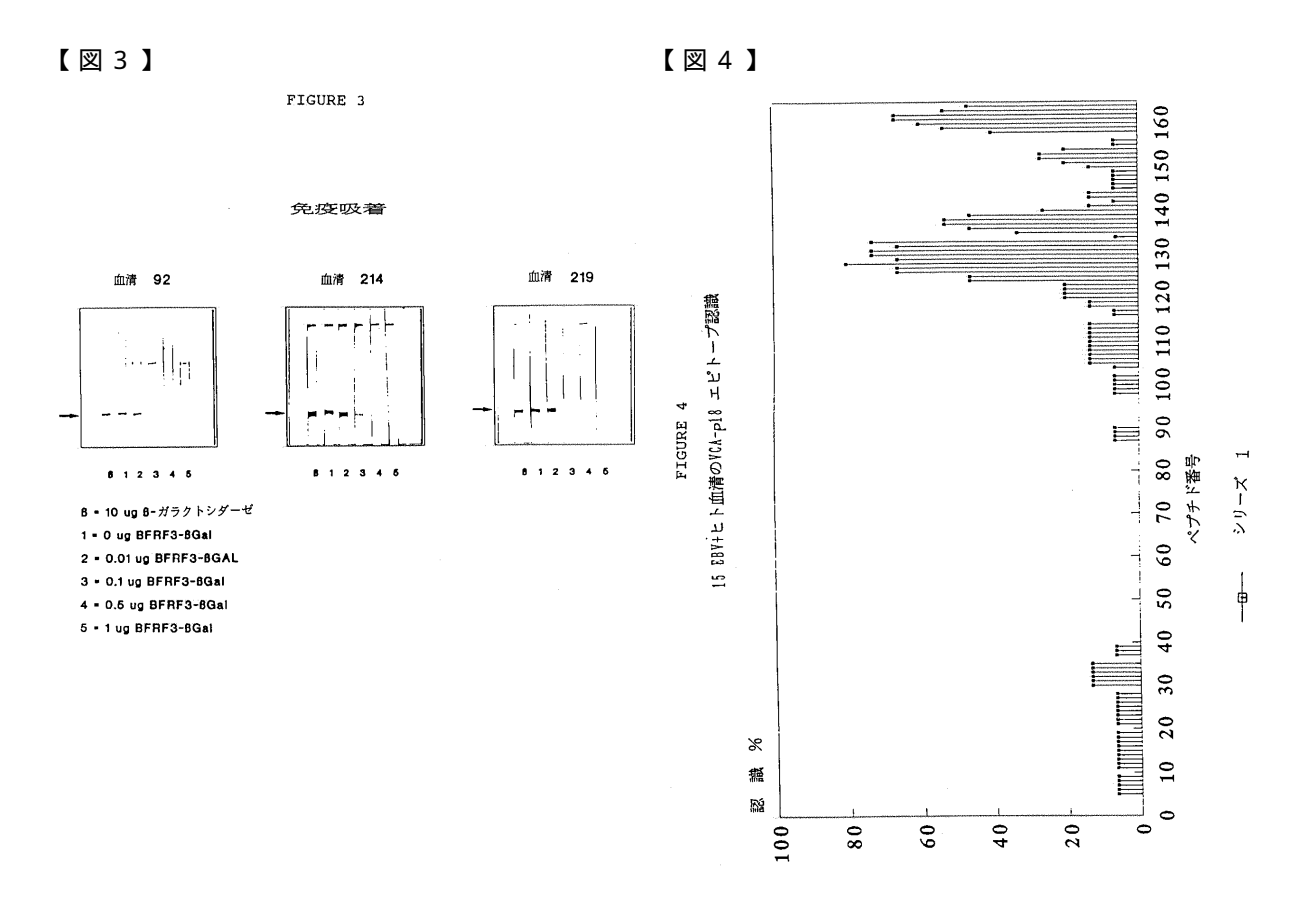
30

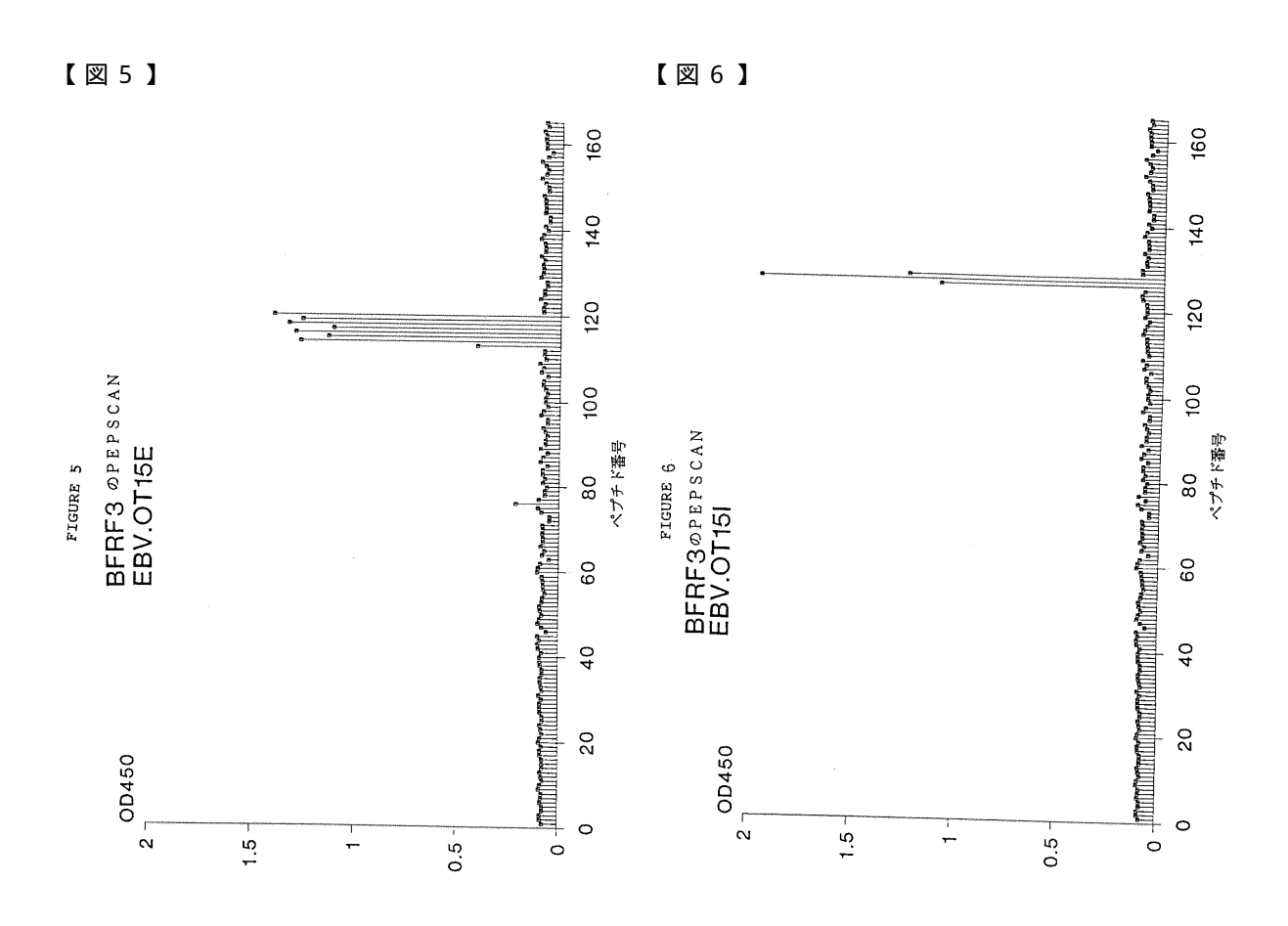
40

反応性の分析(ELISA)を示す。

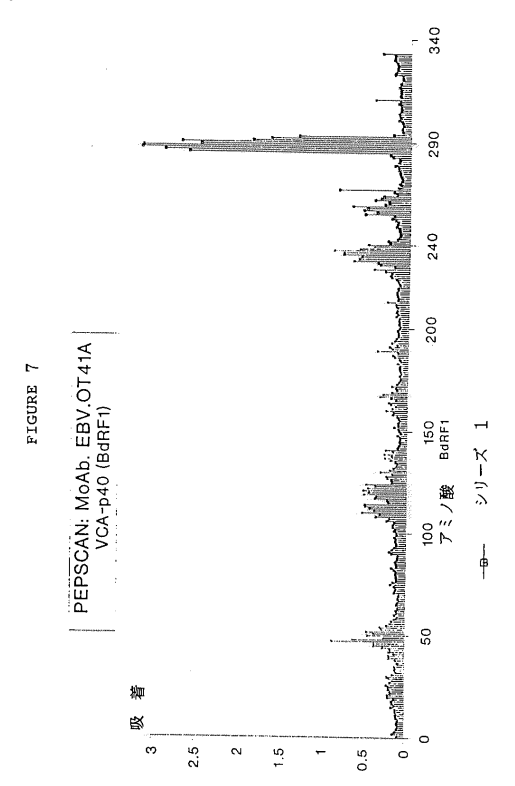
【図11】結合ペプチド5と抗体(c)ヒトIgA(NPC患者の35血清)との免疫反応性の分析(ELISA)を示す。











【図8】

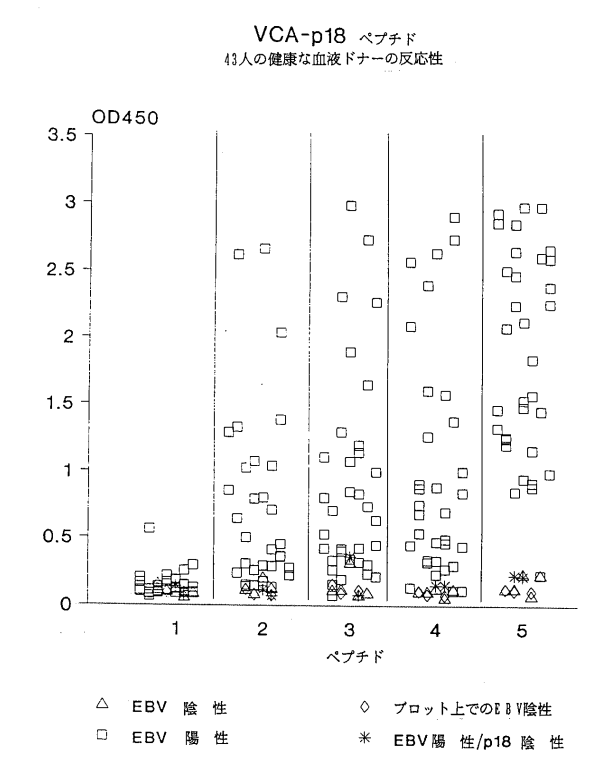


FIGURE 8

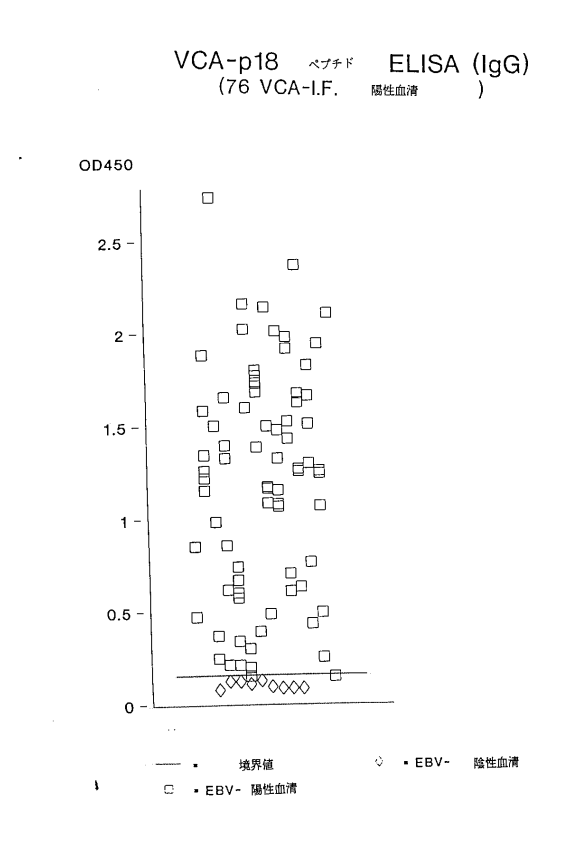
【図9】

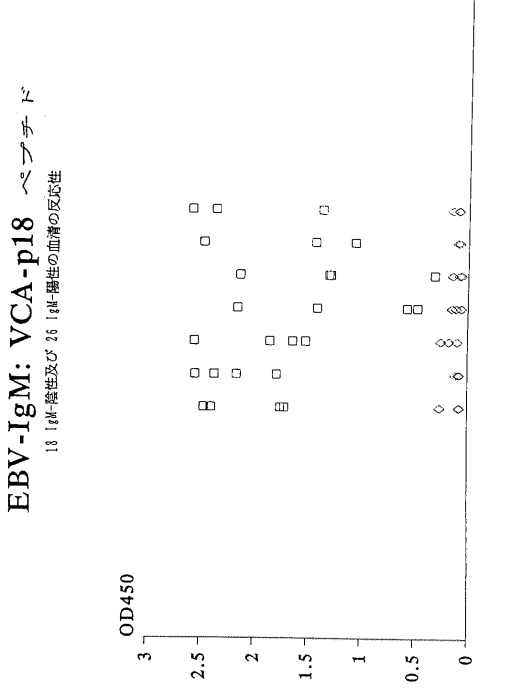




FIGURE 10

【図10】



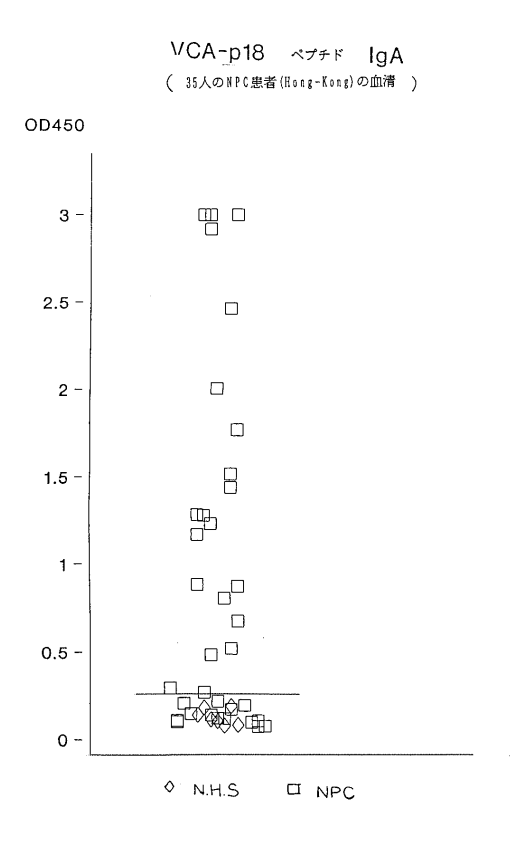


IgM- 陽性血清

◇ IgM- 陰性血清

# 【図11】

FIGURE 11



【配列表】 0004365440000001.app

# フロントページの続き

# (56)参考文献 国際公開第91/008224(WO,A1)

特開平02-002399(JP,A)

J. Virol. Methods., Vol. 21, No. 1-4(1988)p. 133-146

J.ImmunoI., Vol.130, No.2(1983)p.919-924

J.Gen.Virol., Vol.66, Pt.5(1985)p.1113-1122

Proc.Natl.Acad.Sci.USA.,Vol.89,No.1(1992.Jan.)p.378-382

J.Gen.Virol., Vol.56, Pt.1(1981)p.105-118

# (58)調査した分野(Int.CI., DB名)

CA/REGISTRY(STN)

SwissProt/PIR/GeneSeq

PubMed

BIOSIS/WPI(DIALOG)



公开(公告)号 JP4365440B2 公开(公告)日 2009-11-18 申请号 JP2008089543 申请日 2008-03-31  [标]申请(专利权)人(译) 阿克佐诺贝尔公司 申请(专利权)人(译) 阿克苏诺贝尔Namuroze奋笔记本闭嘴  当前申请(专利权)人(译) 阿克苏诺贝尔Namuroze奋笔记本闭嘴  「标]发明人 ヤープ・ミシエル・ミデルドルプ  提明人 ヤープ・ミシエル・ミデルドルプ  IPC分类号 G01N33/569 C07K14/05 C07K16/08 C07K7/08 C07K14/00 C07K16/00 C07K16/42 C12N1/15 C12N /19 C12N1/21 C12N5/10 C12N5/18 C12N15/09 C12N15/09 C12N15/38 C12P21/08 C12R1/91 G011 /53 G01N33/577  CPC分类号 C07K16/085 C07K14/05 C07K2317/34 C07K2319/00 C07K2319/40 C07K2319/61 C07K2319/735 C12N2710/16222  Fi分类号 G01N33/569.J C07K14/05.ZNA C07K16/08 C12N15/00.A G01N33/569.JZN.A  F-TERM分类号 4B024/AA14 4B024/CA02 4B024/CA04 4B024/CA11 4B024/DA06 4B024/EA04 4B024/GA11 4B024/HA15 4H045/AA30 4H045/BA10 4H045/DA76 4H045/EA53 4H045/FA74 4H045/GA26  优先权 92200721.6 1992-03-13 NL  其他公开文献 JP2008261851A	专利名称(译)	与Epstein-Barr病毒相关的肽和核酮	睃序列	
「病]申请(专利权)人(译) 阿克苏诺贝尔Namuroze奋笔记本闭嘴  当前申请(专利权)人(译) 阿克苏诺贝尔Namuroze奋笔记本闭嘴  「病]发明人 ヤープミシエルミデルドルプ  发明人 ヤープ・ミシエル・ミデルドルプ  IPC分类号 G01N33/569 C07K14/05 C07K16/08 C07K7/08 C07K14/00 C07K16/00 C07K16/42 C12N1/15 C12N /19 C12N1/21 C12N5/10 C12N5/18 C12N15/02 C12N15/09 C12N15/38 C12P21/08 C12R1/91 G011 /53 G01N33/577  CPC分类号 C07K16/085 C07K14/005 C07K2317/34 C07K2319/00 C07K2319/40 C07K2319/61 C07K2319/735 C12N2710/16222  Fl分类号 G01N33/569.J C07K14/05.ZNA C07K16/08 C12N15/00.A G01N33/569.JZN.A  F-TERM分类号 4B024/AA14 4B024/CA02 4B024/CA04 4B024/CA11 4B024/DA06 4B024/EA04 4B024/GA11 4B024/HA15 4H045/AA30 4H045/BA10 4H045/DA76 4H045/EA53 4H045/FA74 4H045/GA26  优先权 92200721.6 1992-03-13 NL  其他公开文献 JP2008261851A	公开(公告)号	JP4365440B2	公开(公告)日	2009-11-18
申请(专利权)人(译) 阿克苏诺贝尔Namuroze奋笔记本闭嘴  [标]发明人 ヤープミシエルミデルドルプ  及明人 ヤープ・ミシエル・ミデルドルプ  IPC分类号 G01N33/569 C07K14/05 C07K16/08 C07K7/08 C07K14/00 C07K16/00 C07K16/42 C12N1/15 C12N /19 C12N1/21 C12N5/10 C12N5/18 C12N15/09 C12N15/09 C12N15/38 C12P21/08 C12R1/91 G011 /53 G01N33/577  CPC分类号 C07K16/085 C07K14/005 C07K2317/34 C07K2319/00 C07K2319/40 C07K2319/61 C07K2319/735 C12N2710/16222  FI分类号 G01N33/569.J C07K14/05.ZNA C07K16/08 C12N15/00.A G01N33/569.JZN.A  F-TERM分类号 4B024/AA14 4B024/CA02 4B024/CA04 4B024/CA11 4B024/DA06 4B024/EA04 4B024/GA11 4B024/DA06 4B024/GA11 4B	申请号	JP2008089543	申请日	2008-03-31
当前申请(专利权)人(译) 阿克苏诺贝尔Namuroze奋笔记本闭嘴  [标]发明人 ヤープ・ミシエル・ミデルドルプ   PC分类号 G01N33/569 C07K14/05 C07K16/08 C07K7/08 C07K14/00 C07K16/00 C07K16/42 C12N1/15 C12N /19 C12N1/21 C12N5/10 C12N5/18 C12N15/02 C12N15/09 C12N15/38 C12P21/08 C12R1/91 G011 /53 G01N33/577    CPC分类号 C07K16/085 C07K14/005 C07K2317/34 C07K2319/00 C07K2319/40 C07K2319/61 C07K2319/735 C12N2710/16222    Fl分类号 G01N33/569.J C07K14/05.ZNA C07K16/08 C12N15/00.A G01N33/569.JZN.A    F-TERM分类号 4B024/AA14 4B024/CA02 4B024/CA04 4B024/CA11 4B024/DA06 4B024/EA04 4B024/GA11 4B024/HA15 4H045/AA30 4H045/BA10 4H045/DA76 4H045/EA53 4H045/FA74 4H045/GA26    优先权 92200721.6 1992-03-13 NL	[标]申请(专利权)人(译)	阿克佐诺贝尔公司		
下一プミシエルミデルドルプ	申请(专利权)人(译)	阿克苏诺贝尔Namuroze奋笔记本的	闭嘴	
度明人 ヤープ・ミシエル・ミデルドルプ  IPC分类号 G01N33/569 C07K14/05 C07K16/08 C07K7/08 C07K14/00 C07K16/00 C07K16/42 C12N1/15 C12N /19 C12N1/21 C12N5/10 C12N5/18 C12N15/02 C12N15/09 C12N15/38 C12P21/08 C12R1/91 G011 /53 G01N33/577  CPC分类号 C07K16/085 C07K14/005 C07K2317/34 C07K2319/00 C07K2319/40 C07K2319/61 C07K2319/735 C12N2710/16222  Fl分类号 G01N33/569.J C07K14/05.ZNA C07K16/08 C12N15/00.A G01N33/569.JZN.A  F-TERM分类号 4B024/AA14 4B024/CA02 4B024/CA04 4B024/CA11 4B024/DA06 4B024/EA04 4B024/GA11 4B024/HA15 4H045/AA30 4H045/BA10 4H045/DA76 4H045/EA53 4H045/FA74 4H045/GA26  优先权 92200721.6 1992-03-13 NL  其他公开文献 JP2008261851A	当前申请(专利权)人(译)	阿克苏诺贝尔Namuroze奋笔记本的	闭嘴	
IPC分类号 G01N33/569 C07K14/05 C07K16/08 C07K7/08 C07K14/00 C07K16/00 C07K16/42 C12N1/15 C12N /19 C12N1/21 C12N5/10 C12N5/18 C12N15/02 C12N15/09 C12N15/38 C12P21/08 C12R1/91 G011 /53 G01N33/577  CPC分类号 C07K16/085 C07K14/005 C07K2317/34 C07K2319/00 C07K2319/40 C07K2319/61 C07K2319/735 C12N2710/16222  Fl分类号 G01N33/569.J C07K14/05.ZNA C07K16/08 C12N15/00.A G01N33/569.JZN.A  F-TERM分类号 4B024/AA14 4B024/CA02 4B024/CA04 4B024/CA11 4B024/DA06 4B024/EA04 4B024/GA11 4B024/HA15 4H045/AA30 4H045/BA10 4H045/DA76 4H045/EA53 4H045/FA74 4H045/GA26  优先权 92200721.6 1992-03-13 NL  其他公开文献 JP2008261851A	[标]发明人	ヤープミシエルミデルドルプ		
/19 C12N1/21 C12N5/10 C12N5/18 C12N15/02 C12N15/09 C12N15/38 C12P21/08 C12R1/91 G011 /53 G01N33/577  CPC分类号	发明人	ヤープ・ミシエル・ミデルドルプ		
C12N2710/16222     FI分类号   G01N33/569.J C07K14/05.ZNA C07K16/08 C12N15/00.A G01N33/569.JZN.A     F-TERM分类号   4B024/AA14 4B024/CA02 4B024/CA04 4B024/CA11 4B024/DA06 4B024/EA04 4B024/GA11 4B024/HA15 4H045/AA30 4H045/BA10 4H045/DA76 4H045/EA53 4H045/FA74 4H045/GA26     优先权   92200721.6 1992-03-13 NL     其他公开文献   JP2008261851A	IPC分类号	/19 C12N1/21 C12N5/10 C12N5/1		
F-TERM分类号 4B024/AA14 4B024/CA02 4B024/CA04 4B024/CA11 4B024/DA06 4B024/EA04 4B024/GA11 4B024/HA15 4H045/AA30 4H045/BA10 4H045/DA76 4H045/EA53 4H045/FA74 4H045/GA26	CPC分类号		317/34 C07K2319/00 C07K2319	9/40 C07K2319/61 C07K2319/735
/HA15 4H045/AA30 4H045/BA10 4H045/DA76 4H045/EA53 4H045/FA74 4H045/GA26       优先权     92200721.6 1992-03-13 NL       其他公开文献     JP2008261851A	FI分类号	G01N33/569.J C07K14/05.ZNA C	:07K16/08 C12N15/00.A G01N3	3/569.JZN.A
其他公开文献 JP2008261851A	F-TERM分类号			
	优先权	92200721.6 1992-03-13 NL		
外部链接 <u>Espacenet</u>	其他公开文献	JP2008261851A		
	外部链接	Espacenet		

# 摘要(译)

要解决的问题:提供一种检测epstein-barr病毒(EBV)的方法。解决方案:本发明涉及与Epstein-Barr病毒(EBV)的抗体具有免疫化学反应性的肽,并且包括分别在EBV开放阅读框BFRF3和BdRF1内编码的至少一部分VCA-p18或VCA-p40蛋白,或其功能变体。本发明还涉及编码这些肽的核酸序列,针对这些肽的单克隆抗体,能够产生单克隆抗体的细胞系和抗独特型抗体。本发明还涉及重组载体分子,包括核酸序列和用这些载体分子转化或转染的宿主细胞。本发明还涉及用于检测EBV或抗EBV抗体的免疫学试剂和方法,以及用于扩增和检测Epstein Barr病毒核酸的方法。 Ž

1   141   101-10.20.  101-10	F342II	(M7+181-181)		( MI-III ) 144V)
## 1970 HO 1971 HO 197	Elisa	ペプチド	Elisa	ペプチド
	0D/81	11.一配列	0D (61	仙一配列
	1	1	,	-
	11.63	191-0H059998910-191	1 (23	162-CQPEDTAPECAR-174
	-	ı	1.388	FLI-COPROTAPRGAR-174
	1	ı	H	182-GQPHDTAPRGAR-174
	-	1	1354	162-CQPHDTAPRCAR-174
	'	ı	=	162-CQPEDTAPRCAR-174
	,	,	11.1	163-QPHDTAPRCARE-175
	1	,	1.343	140-6660PHDTAPR6-172
	181	153-AVBTGSGGGQP-165	TWT	161-69PBDTAPRCAR-174
	=	153-470703666609-165	181	162-CQPEDTAPRCAR-174
88 150	281	191-19200000004191	E	ICC-COPROTIPEGAR-174
2 2	1	ı	-	162-COPROTAPRCAR-174
	197	991-80000000000-191	283	161-GPRDTAPRGAR-174
	,	ı	E	162-60PETAPOSAR-174
15 0.695 138-RAITSGATTAAS-150	1	ı	II III	162-COPRETAPRCAR-174